

С.И. Кавкянов, С.Р. Чурагулов

К МЕТОДИКЕ ОПРЕДЕЛЕНИЯ ПРОЗРАЧНОСТИ АТМОСФЕРЫ ПО ДАННЫМ ДВУХЧАСТОТНОГО ЛИДАРА

Рассматривается методика восстановления профилей прозрачности и коэффициента ослабления аэрозольной атмосферы по данным двухчастотного лазерного зондирования. Получены аналитические решения лидарного уравнения относительно этих параметров при заданных вдоль трассы зондирования спектральных характеристиках коэффициентов обратного рассеяния и ослабления атмосферы. Исследуются вопросы устойчивости решений и приводится статистически регуляризованный алгоритм восстановления профиля коэффициента ослабления. В замкнутом численном эксперименте проводится сравнительный анализ информативности одно- и двухчастотного зондирования в рассматриваемой задаче.

Введение

Область применения одночастотного лидара ограничена главным образом получением информации о пространственном распределении объемного коэффициента обратного рассеяния $\beta(z)$, в то время как во многих практических задачах представляет интерес возможность лидарного измерения прозрачности $T(z_0, z) = \exp\{-\int_{z_0}^z \alpha(z') dz'\}$ слоя атмосферы $[z_0, z]$, где z — расстояние вдоль трассы зондиро-

вания, либо профиля объемного коэффициента ослабления $\alpha(z)$. Простейшим способом достижения этой цели при одночастотном зондировании является использование априорной информации о распределении по трассе лидарного отношения $g(z) = \beta(z)/\alpha(z)$, при этом ошибки определения $\alpha(z)$ будут как минимум того же порядка, что и относительные вариации $\Delta g(z)/g(z_0)$ вдоль трассы зондирования [1]. Хотя значения β и α при отсутствии поглощения обычно коррелируют между собой, возможны ситуации, в которых лидарное отношение изменяется вдоль трассы в несколько раз.

В связи со сказанным актуальным является поиск методик определения прозрачности атмосферы, свободных от указанного недостатка. Такая возможность возникает при увеличении числа длин волн зондирования λ_i и использовании для разделения β и α априорной информации об их спектральном поведении. При достаточно большом числе λ_i эту информацию можно вводить посредством задания факторов эффективности полного и обратного рассеяния атмосферного аэрозоля [2]. Если число рабочих длин волн невелико, априорная информация о спектральных свойствах β и α может задаваться в виде каких-либо параметрических зависимостей этих характеристик от λ с определением неизвестных параметров из экспериментальных данных, либо модельных расчетов. Удобной является аппроксимация зависимостей $\ln\beta(\lambda)$, $\ln\alpha(\lambda)$ рядом Тейлора по степеням приращений $\Delta\ln\lambda$ [3], при этом зачастую достаточно ограничиться первыми двумя членами разложения:

$$\begin{aligned} \ln\beta(\lambda) &= \ln\beta(\lambda_0) + \eta_\beta(\lambda_0)(\ln\lambda - \ln\lambda_0) \\ \ln\alpha(\lambda) &= \ln\alpha(\lambda_0) + \eta_\alpha(\lambda_0)(\ln\lambda - \ln\lambda_0), \end{aligned} \quad (1)$$

где параметры $\eta_\beta = (\partial\ln\beta/\partial\ln\lambda)$, $\eta_\alpha = (\partial\ln\alpha/\partial\ln\lambda)$ являются взятыми с обратным знаком показателями относительного убывания по λ коэффициентов β , α в формуле Ангстрема [2]. Анализ экспериментального материала и модельные расчеты показывают [2, 4], что изменчивость η_α , η_β в реальной атмосфере гораздо меньше, нежели лидарного отношения (обычно для атмосферного аэрозоля $-2 \lesssim \eta_\beta, \eta_\alpha \lesssim 0$; для молекулярного рассеяния $\eta_m = -4$), что существенно увеличивает достоверность их прогноза.

В [2] получены формулы определения прозрачности атмосферы по данным двухчастотного лидара при условии неизменности η_α , η_β вдоль трассы зондирования. В настоящей работе излагается методика восстановления прозрачности и профиля коэффициента ослабления при произвольных зависимостях $\eta_\alpha(z)$, $\eta_\beta(z)$. В численном эксперименте исследуется точность восстановления для различных оптических толщ трассы и погрешностей априорного задания спектральных зависимостей $\beta(\lambda)$ и $\alpha(\lambda)$.

Аналитическое решение лидарного уравнения

Запишем лидарное уравнение в относительной форме, для того чтобы исключить из конечных результатов погрешности калибровки:

$$\frac{s(\lambda, z)}{s(\lambda, z_0)} = \frac{\beta(\lambda, z)}{\beta(\lambda, z_0)} T^2(\lambda, z_0, z), \quad (2)$$

где $s(\lambda, z)$ – лидарный сигнал, скорректированный на геометрическую функцию, измеренный на длине волны λ . Логарифмируя и дифференцируя (2) по $\ln\lambda$, получим согласно (1)

$$\frac{\partial}{\partial \ln \lambda} \ln \frac{s(\lambda, z)}{s(\lambda, z_0)} = \eta_\beta(\lambda, z) - \eta_\beta(\lambda, z_0) - 2 \int_{z_0}^z \eta_\alpha(\lambda, z') \alpha(\lambda, z') dz', \quad (3)$$

откуда

$$\alpha(\lambda, z) = -\frac{1}{2\eta_\alpha(\lambda, z)} \frac{\partial}{\partial z} \left\{ \frac{\partial}{\partial \ln \lambda} \ln \frac{s(\lambda, z)}{s(\lambda, z_0)} + \eta_\beta(\lambda, z_0) - \eta_\beta(\lambda, z) \right\}. \quad (4)$$

Учитывая, что согласно (1) $\eta_\alpha(\lambda, z) = \eta_\alpha(\lambda_0, z) \equiv \eta_\alpha(z)$, $\eta_\beta(\lambda, z) = \eta_\beta(\lambda_0, z) \equiv \eta_\beta(z)$, получим интегрированием (4) по $\ln\lambda$

$$\alpha_i = -\frac{1}{2\gamma(z)} \frac{d\varphi}{dz}, \quad (5)$$

где

$$\gamma(z) = \left(\frac{\lambda_2}{\lambda_1} \right)^{\eta_\alpha(z)} - 1, \quad \varphi(z) = \ln \frac{s_2(z) s_1(z_0)}{s_2(z_0) s_1(z)} + \frac{\lambda_2}{\lambda_1} [\eta_\beta(z) - \eta_\beta(z_0)], \quad (6)$$

для сокращения записи полагается $\alpha(\lambda_i, z) = \alpha_i(z)$, $s(\lambda_i, z) = s_i(z)$, $i = 1, 2$. Интегрируя (5) от z_0 до z , получим для оптической толщины слоя $[z_0, z]$ выражение

$$\tau_i(z_0, z) = -\frac{1}{2} \left\{ \frac{\varphi(z)}{\gamma(z)} + \int_{z_0}^z \frac{d}{dz'} \left[\frac{1}{\gamma(z')} \right] dz' \right\}. \quad (7)$$

Для постоянных на $[z_0, z]$ η_α и η_β эти формулы упрощаются:

$$\alpha_i(z) = -\frac{1}{2} \frac{d}{dz} \ln \frac{s_2(z) s_1(z_0)}{s_2(z_0) s_1(z)} \Bigg/ \left[\left(\frac{\lambda_2}{\lambda_1} \right)^{\eta_\alpha} - 1 \right] \quad (5')$$

$$\tau_i(z_0, z) = -\frac{1}{2} \ln \frac{s_2(z) s_1(z_0)}{s_2(z_0) s_1(z)} \Bigg/ \left[\left(\frac{\lambda_2}{\lambda_1} \right)^{\eta_\alpha} - 1 \right]. \quad (7')$$

Последнее выражение совпадает с полученным в [2]. Аналогично [2] можно записать необходимое условие применимости допущения (1) при интерпретации данных двухчастотного лидара (поскольку $\alpha > 0$):

$$\frac{d}{dz} \ln \frac{s_2(z) s_1(z_0)}{s_2(z_0) s_1(z)} \Bigg/ \left[\left(\frac{\lambda_2}{\lambda_1} \right)^{\eta_\alpha} - 1 \right] < 0, \quad (8)$$

или менее жесткое, но легче проверяемое условие (вытекающее из требования $\tau > 0$):

$$\ln \frac{s_2(z) s_1(z_0)}{s_2(z_0) s_1(z)} \Bigg/ \left[\left(\frac{\lambda_2}{\lambda_1} \right)^{\eta_\alpha} - 1 \right] < 0. \quad (9)$$

Устойчивость решения

Как следует из выражений (5)–(7), основными факторами, влияющими на точность восстановления, являются погрешности априорного выбора характеристик $\eta_\alpha(z), \eta_\beta(z)$, причем, как видно из (6), наибольшие требования предъявляются к точности задания абсолютного значения $\eta_\alpha(z)$, в то время как показатель относительного спектрального изменения коэффициента обратного рассеяния содержится в конечных результатах лишь в виде разности $\eta_\beta(z) - \eta_\beta(z_0)$ (здесь пока не учитываем погрешности численного дифференцирования функции $\varphi(z)$). Исследуем устойчивость решения (5'), (7') к погрешности $\Delta\eta_\alpha$ определения η_α . Дифференцируя по η_α эти выражения, получим после простых преобразований для относительных погрешностей $\delta\alpha = \Delta\alpha/\alpha$ и $\delta\tau = \Delta\tau/\tau$

$$\delta \alpha_1 = \delta \tau_1 = \kappa \Delta \eta_\alpha, \quad \kappa = \left(\frac{\lambda_2}{\lambda_1} \right)^{\eta_\alpha} \ln \frac{\lambda_2}{\lambda_1} \Big/ \left[1 - \left(\frac{\lambda_2}{\lambda_1} \right)^{\eta_\alpha} \right]. \quad (10)$$

В (10) присутствует абсолютная погрешность $\Delta \eta_\alpha$ измерения η_α , которая при экспериментальном измерении $\eta_\alpha = \ln(\alpha_2/\alpha_1)/\ln(\lambda_2/\lambda_1)$ пропорциональна сумме относительных погрешностей измерения α_1 и α_2 . Коэффициент усиления ошибки κ достигает максимального значения при $\eta_\alpha \rightarrow 0$, что вполне понятно, поскольку в этом случае увеличение числа λ_i не дает новой информации по сравнению с одночастотным зондированием. Другой очевидный факт заключается в том, что $\kappa \rightarrow \infty$ при $\lambda_2 \rightarrow \lambda_1$. Исследование погрешности восстановления для реальных значений $\lambda_1, \lambda_2, \eta_\alpha, \eta_\beta$ будет проведено далее в модельном численном эксперименте. Необходимо отметить, что к рассмотренным погрешностям добавляются ошибки измерения сигналов $s_1(z), s_2(z)$ и прогноза $\eta_\beta(z) - \eta_\beta(z_0)$, усиливающиеся в случае восстановления профиля $\alpha(z)$ при численном дифференцировании $\phi(z)$ {см. формулы (5), (6)}. По этой причине необходимо использовать регуляризирующие алгоритмы восстановления. Ниже описывается статистически регуляризованный алгоритм восстановления профиля коэффициента ослабления по данным двухчастотного зондирования.

Статистическая регуляризация решения

Представим (5) в виде интегрального уравнения относительно $\alpha_1(z)$:

$$-\frac{2}{\ln \frac{\lambda_2}{\lambda_1}} \int_{z_0}^z \gamma(z') \alpha_1(z') dz' + [\eta_\beta(z_0) - \eta_\beta(z)] = \ln \times \frac{s_2(z) s_1(z_0)}{s_2(z_0) s_1(z)} \Big/ \ln \frac{\lambda_2}{\lambda_1}. \quad (11)$$

Обозначая правую часть (11) как $f(z)$, $\eta_\beta(z_0) - \eta_\beta(z) = \varepsilon(z)$, получим после дискретизации по $N+1$ отсчетам z_0, z_1, \dots, z_N векторный аналог (11):

$$H\alpha_1 + \varepsilon = f, \quad (12)$$

где f — экспериментально измеряемый вектор размером $N \times 1$, $f^\top = \{f(z_1), \dots, f(z_N)\}$ (\top — операция транспонирования), ε — вектор помехи, который считаем статистически независимым с $\alpha_1^\top = \{\alpha_1(z_0), \dots, \alpha_1(z_N)\}$, H — прямоугольная матрица размером $N \times (N+1)$, произведение $H\alpha_1$ аппроксимирует первый член в (11). Элементы матрицы H зависят от прогнозируемого значения $\bar{\eta}_\alpha(z)$ согласно (6). Ошибки прогноза вызывают дополнительную к ε случайную погрешность в левой части (11), которая за счет интегрирования будет иметь меньший уровень, чем ε , при одинаковых вариациях η_α и η_β вдоль трассы зондирования. Будем считать также, что погрешности измерения лидарных сигналов также содержатся в векторе ε , так что последний характеризует суммарную ошибку измерений и задания спектральных характеристик аэрозоля. Будем считать вектор ε нормальным с нулевым математическим ожиданием $\mu_\varepsilon = 0$ и ковариационной матрицей $V_\varepsilon = \sigma_\varepsilon^2 E$, где σ_ε^2 — дисперсия помехи, E — единичная матрица. Если априори известны статистические характеристики искомого вектора α_1 , μ_α и V_α , то статистически регуляризованное решение (12) имеет вид [5]

$$\hat{\alpha}_1 = (H^\top H + \sigma_\varepsilon^2 V_\alpha^{-1})^{-1} (H^\top f + \sigma_\varepsilon^2 V_\alpha^{-1} \mu_\alpha). \quad (13)$$

В численном эксперименте, описанном ниже, проводилось сравнение информативности одно- и двухчастотного зондирования профилей коэффициента ослабления. В обоих случаях использовалась статистическая модель интерпретации (12) и оценка (13), считались известными μ_α , V_α . При одночастотном зондировании модель (12) являлась векторным аналогом уравнения

$$\ln \frac{\alpha(z)}{\alpha(z_0)} - 2 \int_{z_0}^z \alpha(z') dz' + \ln \frac{g(z)}{g(z_0)} = \ln \frac{s(z)}{s(z_0)}, \quad (14)$$

при этом аналогично (11) в качестве $f(z)$ выступает правая часть (14), прямоугольная матрица H размером $N \times (N+1)$ зависит от μ_α , поскольку $H\alpha$ аппроксимирует первые два члена (14), причем первый из них линеаризируется в окрестности $\mu_\alpha(z)$, помеха $\varepsilon(z) = \ln[g(z)/g(z_0)]$. Дисперсия этой помехи $\sigma_\varepsilon^2 = 2v_g^2$, где v_g — коэффициент вариации лидарного отношения $g(z)$ (считается, что пространственный радиус корреляции этого случайного процесса достаточно мал).

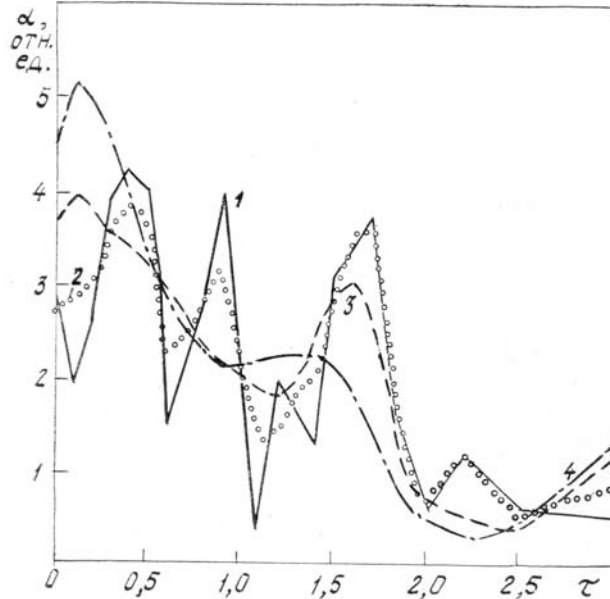
Замкнутый численный эксперимент

Реализации профилей $\alpha(z)$, $\eta_\beta(z)$, $\eta_\alpha(z)$ (для двухчастотного зондирования, $\lambda_1 = 0,53$ мкм, $\lambda_2 = 1,06$ мкм) и $\alpha(z)$, $g(z)$ (для одночастотного, $\lambda_1 = 0,53$ мкм) моделировались на ЭВМ в виде нормально распределенных попарно независимых случайных векторов, размерностью $N = 30$. По каждой реализации рассчитывались правые части (11), (14), затем решалась обратная задача с использованием (13). По серии смоделированных векторов α_i и полученных оценок $\hat{\alpha}_i$, $i = 1, \dots, n$ вычислялась

$$\text{среднеквадратическая ошибка восстановления } \Delta\alpha^j = \left[\sum_{i=1}^n (\hat{\alpha}_i^j - \alpha_i^j)^2 / n \right]^{1/2}, \quad j = \overline{1, N}. \quad \text{Задавалась однородная}$$

в среднем модель атмосферы, математические ожидания и дисперсии компонентов моделируемых векторов не зависели от расстояния z . Размерности α и z выбирались таким образом, чтобы суммарная оптическая толщина трассы составляла $\tau = 3$. Ковариационные матрицы моделируемых векторов задавались в предположении экспоненциальной коррелированности соответствующих процессов с эффективным радиусом корреляции, составляющим $0,1(z_N - z_0)$. Коэффициент вариации случайного процесса $\alpha(z)$ полагался равным $v_\alpha = 0,3$, коэффициенты вариации профилей $\eta_\alpha(z)$ и $\eta_\beta(z)$ — равными $v_{\eta_\alpha} = v_{\eta_\beta} = 0,01; 0,05$ и $0,2$ (такие же значения выбирались в одночастотном случае для v_g). Средние значения η_α и η_β были равны -1 .

В качестве иллюстрации возможностей двухчастотного зондирования в рассматриваемой задаче приведен рисунок, на котором показаны одна из смоделированных реализаций $\alpha(z)$ и результаты ее восстановления для трех значений v_η равных 1, 5 и 20%. Очевидно, что определение тонкой структуры профиля $\alpha(z)$ требует весьма высоких точностей прогноза спектральных характеристик аэрозоля. В то же время интегральное значение коэффициента ослабления оценивается с хорошей точностью до больших оптических толщин трассы. В этом отношении двухчастотное зондирование дает явное преимущество по сравнению с одночастотным, которое при $\tau > 2 \div 3$ практически неинформативно [1]. В табл. 1 и 2 приведены среднеквадратические ошибки восстановления $\alpha(z)$ для сравниваемых методов, рассчитанные по $n = 100$ реализациям моделируемых векторов при одинаковых уровнях помех (соответственно v_g и v_η). Здесь иллюстрируется также чувствительность обоих методов к точности априорной информации о решении (в правой половине таблиц приводятся погрешности восстановления при ошибке $\Delta\mu_\alpha$ задания профиля $\mu_\alpha(z)$, равной 20%).



Численный эксперимент по восстановлению профиля коэффициента ослабления для $\lambda_1 = 0,53$ мкм, $\lambda_2 = 1,06$ мкм, $\eta_\alpha = \eta_\beta = -1$. Здесь 1 — модельный; 2, 3, 4 — восстановленные профили при погрешности задания η_α соответственно 1, 5, 20%

Выводы

Анализ результатов моделирования, представленных в табл. 1 и 2, позволяет сделать ряд практических выводов. Во-первых, требования к точности прогноза спектральных характеристик аэрозоля весьма велики, и уже при $v_\eta \geq 20\%$ задача определения профиля $\alpha(z)$ по данным двухчастотного зондирования становится малоинформационной. При одинаковой точности прогноза использование априорной

орной информации о $g(z)$ предпочтительнее, чем об $\eta_\alpha(z)$ по крайней мере для не очень больших оптических толщ ($\tau \lesssim 2$). Для достижения одной и той же точности восстановления $\alpha(z)$ точность прогноза $\eta_\alpha(z)$ должна быть приблизительно в 4÷5 раз выше, нежели $g(z)$. Именно в этом случае целесообразно использование двухчастотного зондирования в рассматриваемой задаче. В связи с этим актуальным является экспериментальное и численное исследование изменчивости этих характеристик в реальных атмосферно-оптических ситуациях. Во-вторых, точность восстановления $\alpha(z)$ по двухчастотным данным мало зависит от оптической толщины зондируемого слоя, что является очевидным преимуществом перед одночастотным методом. И в-третьих, двухчастотный метод предъявляет гораздо меньшие требования к точности априорной информации о решении, чем одночастотный. В заключение отметим, что, как видно из (10), преимущества двухчастотного метода становятся наиболее ощутимыми при увеличении абсолютного значения η_α , в частности при определении прозрачности в линиях поглощения атмосферных газов [2].

Таблица 1

Погрешность восстановления коэффициента ослабления при одночастотном зондировании, %

τ^j	$\Delta\mu_\alpha = 0$		$\Delta\mu_\alpha = 20\%$			
	v_g					
	1 %	5 %	20 %	1 %	5 %	20 %
0	8,5	9,5	19	12	13	20
0,5	6,7	7,5	15	9,1	9,6	16
1,0	6,7	7,1	15	8,8	8,8	16
1,5	6,5	6,8	17	7,4	7,9	17
2,0	7,9	8,4	17	8,6	9,2	17
2,5	19	20	21	21	22	25
3,0	33	32	32	39	40	39

Таблица 2

Погрешность восстановления коэффициента ослабления при двухчастотном зондировании, %

τ^j	$\Delta\mu_\alpha = 0$		$\Delta\mu_\alpha = 20\%$			
	v_η					
	1 %	5 %	20 %	1 %	5 %	20 %
0	12	21	32	12	21	33
0,5	7,6	16	29	7,6	16	29
1,0	9,1	16	27	9,1	16	27
1,5	8,6	16	25	8,6	16	25
2,0	9,4	17	27	9,4	17	27
2,5	11	16	24	11	16	25
3,0	12	21	30	12	22	32

- Креков Г. М., Кавкянов С. И., Крекова М. М. Интерпретация сигналов оптического зондирования атмосферы. Новосибирск: Наука. 1987. 173 с.
- Зуев В. Е., Нанац И. Э. Обратные задачи лазерного зондирования атмосферы. Новосибирск: Наука. 1982. 242 с.
- Кавкянов С. И., Креков Г. М., Чурагулов С. Р. Оптика атмосферы, 1988, т. 1, № 1. С. 134.
- Креков Г. М., Рахимов Р. Ф. Оптико-локационная модель континентального аэрозоля. Новосибирск: Наука. 1982. 198 с.
- Василенко Г. И. Теория восстановления сигналов. М.: Сов. радио. 1979. 272 с.

Институт оптики атмосферы
СО АН СССР, Томск

Поступила в редакцию
3 августа 1988 г.

S. I. Kavkyanov, S. R. Churagulov. Restitution Procedure for Estimation of Atmospheric Transmittance from Double-Frequency Lidar Data.

A restitution procedure for estimating the atmospheric transmittance and extinction coefficient from double-frequency laser sounding data is proposed. Analytical solutions to the lidar equation for the above parameters are derived using a priori given spectral characteristics of the atmospheric backscattering and extinction coefficients. Based on numerical simulations, the solution stability is examined and the information content provided by single- and double-frequency lidar observations for the problem at hand is compared.